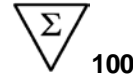


# Axis-Shield Liquid Stable (LS) 2-Part 호모시스테인 성분 분석

(BECKMAN COULTER AU 플랫폼(AU400, AU480, AU680, AU5800, Dx<sup>C</sup> 500 및 Dx<sup>C</sup> 700 AU)에 대해 전문가 전용으로 BECKMAN COULTER가 배포)



Axis-Shield Diagnostics Ltd.  
The Technology Park  
Dundee DD2 1XA  
영국  
전화: +44 (0) 1382 422000  
팩스: +44 (0) 1382 422088



영어:

## 사용 목적

Liquid Stable (LS) 2-Part 호모시스테인 시약은 사람의 혈청 및 혈장에서 총 호모시스테인 양의 체외 정량 측정을 위한 것입니다. 이 장치는 고호모시스테인 혈증과 호모시스틴 농증 의심 환자의 진단 및 치료를 도울 수 있습니다. 전문가만 사용할 수 있습니다.

**경고:** S-아데노실-메티오닌 관련 약물 치료 중인 환자의 표본에서 호모시스테인 수치의 가성 상승이 나타날 수 있습니다. 메토르렉세이트, 카르바마제핀, 페니토인, 아산화질소, 항경련제, 또는 6-아자우리딘 트리아세테이트를 복용하는 환자들은 대사 경로에 영향을 받아 호모시스테인의 수치가 상승할 수 있습니다. 이 분석 패키지 첨부 문서의 사용 제한 섹션을 참조하십시오.

## 검사 요약 및 설명

호모시스테인(HCY)은 메티오닌의 세포 내 탈메틸화에 의해 생성된 티울 함유 아미노산입니다. 호모시스테인은 혈장으로 내보내져서 주로 일부민과 단백질-HCY 혼합 이황(단백질-SS-HCY)으로 혈장 단백질에 결합되어 산화된 형태로 순환됩니다.<sup>1-5</sup> 더 적은 양의 환원된 호모시스테인과 이황 호모시스테인(HCY-SS-HCY)이 존재합니다. 총 호모시스테인(HCY)은 혈청 또는 혈장(유리 플러스 단백질 결합)에 있는 모든 HCY 종의 합계를 나타냅니다. 호모시스테인은 대사 작용에 의해 시스테인 또는 메티오닌으로 분해됩니다. 비타민 B6 트랜스 황화 경로에서 호모시스테인은 이화 작용에 의해 시스테인으로 분해되어 둘리킬 수 없습니다. 호모시스테인의 주요 부분은 주로 염산과 코발라민 의존 효소 메티오닌 합성효소에 의해 메티오닌으로 다시 메틸화됩니다. 이러한 반응이 손상될 때 호모시스테인이 축적되어 혈액으로 분비됩니다.<sup>3-5</sup> 총 호모시스테인 농축물의 심각한 상승은 호모시스테인의 대사에 관여하는 효소의 회귀한 유전 질환인 호모시스틴 농증 대상자에게서 발견됩니다. 호모시스틴 농증 환자는 정신 지체, 초기 동맥경화 및 동맥/정맥 혈전 색전증을 보입니다.<sup>2,6</sup> 총 호모시스테인 수치가 중간 정도로 상승하는 덜 심각한 기타 유전적 결함도 발견됩니다.<sup>7-9</sup>

호모시스테인 수치 상승과 심혈관 질환(CVD)의 관계를 조사한 역학적 연구들이 있습니다. 4,000명 이상의 환자를 포함한 27개 연구에 대한 메타 분석에서는 총 호모시스테인의 5 $\mu$ mol/L 증가가 관상동맥질환(CAD)의 교차비 1.6(95% 신뢰구간[CI], 남성의 경우 1.4~1.7), 여성의 경우 1.8(95% CI 1.3~1.9)의 관련이 있는 것으로 추정했습니다. 뇌혈관 질환의 오즈비는 1.5(95% CI 1.3~1.9)였습니다. 총 호모시스테인 5 $\mu$ mol/L 증가와 관련된 위험은 0.5mmol/L(20mg/dL) 콜레스테롤 증가와 관련된 위험과 동일했습니다. 말초 동맥 질환 또한 강한 연관성을 보였습니다.<sup>10</sup>

고호모시스테인 혈증, 호모시스테인 수치 상승은 CVD의 위험 증가와 관련될 수 있습니다. 또한 고호모시스테인 혈증과 처음에는 건강했던 남성 및 여성의 CVD 위험 사이의 관계에 대해 많은 전향적 연구가 발표되었습니다. 종점은 급성 심근경색, 뇌졸중, CAD, 또는 사망 등의 심혈관 사례를 기반으로 했습니다. Cattaneo<sup>11</sup>가 검토한 이 코호트 내 환자-대조군 연구(nested case-control studies) 중 11건의 결과는 그 중 5건이 위험과의 연관성을 뒷받침하지만 6건은 뒷받침하지 않아서 불분명했습니다. 최근에 호모시스테인 수치는 여성 건강 연구(Women's Health Study)에 참여한 폐경 후 여성의 전향적 연구에서 결정되었습니다. 이후 심혈관 질환이 발생한 122명 여성 중 표본을 호모시스테인에 대해 검사했고 연령 및 흡연 상태에 대해 일치하는 244명 여성의 대조군에 비교했습니다. 대조군의 여성들은 이후 3년 동안 질병이 없었습니다. 그 결과, 심혈관 질환이 발생한 폐경 후 여성에게서 기준선 호모시스테인 수치가 크게 높았습니다. 최고 분위의 수치를 보인 여성은 심혈관 질환의 위험이 두 배 증가했습니다. 기준선 호모시스테인 수치 상승은 독립적인 위험 요인인 것으로 나타났습니다.<sup>12</sup> 또한 호모시스테인 수치는 Framingham 심장 연구 코호트에서 1933명의 노인 남성 및 여성들 통해 결정되었고 호모시스테인의 수치 상승이 모든 원인 및 CVD 사망자의 증가율과 독립적으로 관련된 것을 입증했습니다.<sup>13</sup>

만성 신장 질환이 있는 환자는 동맥 경화성 CVD 때문에 초과 이완을 및 사망을 경험합니다. 호모시스테인의 농도 상승은 이러한 환자의 혈액에서 빈번하게 관찰되는 결과입니다. 이 환자들이 호모시스테인의 대사에 관여하는 비타민이 일부 부족하다고 해도, HCY 수치 상승은 주로 신장에 의해 손상된 HCY를 혈액에서 제거하기 때문입니다.<sup>14,15</sup>

메토르렉세이트, 카르바마제핀, 페니토인, 아산화질소, 6-아자우리딘 트리아세테이트와 같은 약물은 HCY 대사를 방해하고 HCY 수치를 높일 수 있습니다.<sup>16</sup>

## 분석 원리

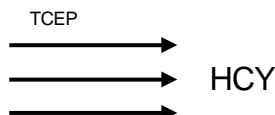
결합 또는 이황 호모시스테인(산화형)은 유리 호모시스테인으로 환원된 다음, 시스타씨오닌 베타-합성효소(CBS)에 의해 촉매되는 세린과 반응하여 시스타씨오닌을 형성합니다. 시스타씨오닌은 차례로 시스타씨오닌 베타-분해 효소(CBL)에 의해 분해되어 호모시스테인, 피루브산과 암모니아를 형성합니다. 피루브산은 코엔자임 같은 니코틴 아데닌 디뉴클레오티드(NADH)와 젖산 탈수소 효소(LDH)를 통해 젖산으로 변환됩니다. NADH에서 NAD<sup>+</sup>로 변환되는 속도는 호모시스테인의 농도(A340nm)에 직접적으로 비례합니다.

**환원:** 이황 호모시스테인, 혼합 이황, 샘플에서 HCY의 단백질 결합 형태는 환원되어 트리스 [2-카르복시에틸] 포스(TCEP)의 사용에 의해 유리 HCY를 형성합니다.

HCY-SS-HCY(이량 호모시스테인)

R1-SS-HCY (R1 = 티올 잔여물)

단백질-SS-HCY

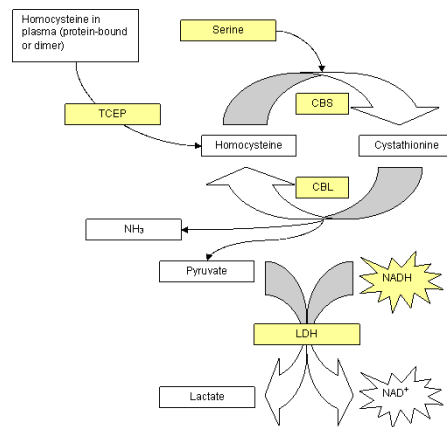


**효소 변환:** 유리 HCY는 시스타씨오닌 베타-합성 효소 및 과잉 세린 사용으로 시스타씨오닌으로 변환됩니다.

그린 다음 시스타씨오닌은 호모시스테인, 피루브산 및 암모니아로 분해됩니다.

피루브산은 코엔자임과 같은 NADH와 젖산 탈수소 효소를 통해 젖산으로 변환됩니다.

NADH에서 NAD<sup>+</sup> ( $\Delta A340nm$ )로 변환되는 속도는 호모시스테인의 농도에 직접적으로 비례합니다.



## 추가 정보

Beckman Coulter는 시약을 제조하거나 품질 관리 또는 개별 로트에 대한 다른 테스트를 수행하지 않으므로 시약의 효능, 시약 로트 간 차이 또는 제조사별 프로토콜 변화에 의해 발생된 수집 데이터의 품질에 대해 책임을 지지 않습니다.

## 기술 지원

- 기술 지원은 해당 지역 Beckman Coulter 담당자에게 문의하십시오.
- 배송 시 제품 손상 - 제품 수령 시 손상된 경우 Beckman Coulter 임상 지원 센터에 알려주시기 바랍니다.
- 사용 지침(번역 및 상호 오염 방지 매개 변수 포함)은 [www.homocysteine.org.uk/BCI](http://www.homocysteine.org.uk/BCI)를 방문하시기 바랍니다.

## 주문 정보 및 키트 구성물

다음 코드를 사용하여 해당 지역 Beckman Coulter 담당자로부터 자료를 제주문 할 수 있습니다.

제품 코드	설명:	구성	위험
B08176	<b>REAG 1</b> - 1 x 30mL 무색, 무취 액체	NADH(0.47mM), LDH(38KU/L), 세린(0.76mM), 트리즈마 염 1-10%, 트리즈마 염 산염 1-10%, 아지드화 나트륨 < 1%. 활원제(TCEP: 2.9mM) 바로 사용 가능	
	<b>REAG 2</b> - 1 x 5mL 연노란색 무취 액체	순환 효소 CBS(0.748KU/L) 및 CBL(16.4KU/L) 아지드화 나트륨 < 1%. 바로 사용 가능	
	CAL 0 $\mu$ M - 1 x 3.0mL, (청색 캡), 무색 무취 액체	수성 호모시스테인 블랭크(0 $\mu$ mol/L). 바로 사용 가능	
	CAL 28 $\mu$ M - 1 x 3.0mL, (적색 캡), 무색 무취 액체	수성 호모시스테인 블랭크 (28 $\mu$ mol/L). 바로 사용 가능	

교정기는 중량 측정에 의해 준비되고 지정된 측정 절차(HPLC)에 의해 확인된 NIST SRM 1955에 기인합니다. 할당된 값은 라벨(0 $\mu$ mol/L 및 28 $\mu$ mol/L)에 인쇄됩니다.

낮은 컨트롤, 중간 컨트롤 및 높은 컨트롤을 포함하는 호모시스테인 컨트롤 키트(제품 코드 - B08177)는 또한 Liquid Stable (LS) 2-Part 호모시스테인 시약과 함께 사용하도록 Beckman Coulter에서 출시했습니다.

## 시약 보관 및 운송

---



1. 키트 구성물을 2-8°C에서 보관하고 라벨에 표시된 유효기간까지 사용합니다. 만기된 시약을 사용하지 마십시오.
2. 제품 수령 시 손상된 경우 Beckman Coulter 기술 지원 센터에 알려주시기 바랍니다.
3. 시약은 라벨의 유효기간까지 다양한 상황에서 사용할 수 있습니다. 시약은 사용 전후 2-8°C에서 **보관해야** 합니다.
4. 다른 시약 키트 로트 번호를 섞지 마십시오.
5. 시약을 냉동하지 마십시오.
6. 시약 물질을 빛에 노출시키지 마십시오.
7. 시약의 오염을 피하십시오. 각각의 시약 또는 샘플 조작 시 새 일회용 피펫 팁을 사용하십시오.
8. 온보드 기기 보관. 시약은 모든 AU 플랫폼(AU400, AU480, AU680, AU5800, DxC 500 AU 및 DxC 700 AU)에 온보드 상태로 30일간 보관할 수 있습니다.
9. 시약은 미립자 물질이 없어야 합니다. 혼탁해진 경우 폐기해야 합니다.

---

## 분석 절차

1. 해당 기기 프로토콜을 사용하여 기기를 프로그래밍합니다.
2. 지시에 따라 시약과 샘플을 기기에 로드하십시오.
3. 분석을 실행합니다.

## 경고 및 주의 사항

### 체외 진단 전용

- 이 책자의 설명, 특히 취급과 보관 규정을 확실히 따르십시오.
- 시약 1과 시약 2에는 날이나 구리 배관과 반응하여 폭발성이 강한 금속 아지드화물을 형성할 수 있는 아지드화 나트륨이 포함되어 있습니다. 처분 시 대량의 물을 배출하여 아지드 형성을 방지합니다.
- 이 키트에 포함된 모든 위험 구성물에 대한 물질 안전 데이터 시트는 제품 제조사 Axis-Shield Diagnostics Ltd.로부터 요청 시 이용 가능합니다.

주의: 미국 관련 제품의 경우 연방법에 따라 이 기기는 의사의 주문이나 의사의 주문에 따라 판매되는 것으로 제한됩니다.

제품 식별자: <b>FHRW110</b>	상표 이름 REAG 1
유해 물질	아지드화나트륨(EINECS: 247-852-1, CAS: 26628-22-8) 에탄올(CAS: 64-17-5)
분류	Flam. Liq. 3 H226 인화성 액체 및 증기
위험 피토그램	
신호어	경고
위험 설명	EUH032: 산과 접촉 시 매우 독한 가스가 발생합니다. H226 인화성 액체 및 증기.
예방 조치 문구	
예방	P210 열, 뜨거운 표면, 스파크, 화염 및 기타 발화원으로부터 멀리하십시오. 금연하십시오. P233 용기를 단단히 밀봉하십시오. P240 용기와 수신 장비를 접지 및 고정하십시오. P241 방폭형[전기·화기·조명] 장비를 사용하십시오. P242 스파크가 발생하지 않는 도구를 사용하십시오. P243 정전기 방전을 방지하기 위한 조치를 취하십시오. P273 환경으로 배출하지 마십시오. P280 보호 장갑/보호복/보호 안경을 착용하십시오. P403+P235 환기가 잘 되는 곳에 보관하십시오. 서늘한 상태로 유지하십시오.
반응	P303+P361+P353 피부(또는 머리카락)에 묻은 경우: 오염된 모든 의복은 즉시 벗으십시오. 물 [또는 샤워]로 피부를헹구하십시오. P370+P378 화재 시: 물을 끄려면 CO <sub>2</sub> , 분말 또는 물 분무를 사용하십시오.
폐기	P501 이 물질과 그 용기는 안전한 방법으로 폐기해야 합니다.

제품 식별자: <b>FHRW130</b>	상표 이름 REAG 2
유해 물질	아지드화나트륨(EINECS: 247-852-1, CAS: 26628-22-8)
분류	분류되지 않음
위험 피토그램	없음
신호어	없음
위험 설명	EUH032: 산과 접촉 시 매우 독한 가스가 발생합니다.
예방 조치 문구	
예방	없음
반응	없음
폐기	없음

## 표본 수집 및 취급

1. 혈청(혈청 또는 혈청 분리기 투브에 수집) 및 혈장(칼륨 EDTA 또는 리튬 혼파린 투브에 수집)은 호모시스테인의 측정에 사용될 수 있습니다.  
그러나 혈청, 혼파린 처리 혈장 및 EDTA 혈장에서 나온 개별 환자 결과를 서로 바꿔서 사용하는 것은 좋지 않습니다.<sup>26</sup> 또한 혈청 및 혈청 분리기 투브와 혈장 투브 사이의 매트릭스 차이가 보고되었습니다.<sup>18</sup>  
적혈구에 의한 합성에서 호모시스테인 농도의 상승을 최소화하려면 다음과 같이 표본을 처리하십시오.
  - 수집 후 그리고 처리하기 전에 모든 표본(혈청 및 혈장)을 얼음 위에 놓습니다. 혈청이 더 천천히 응고될 수 있고 부피가 감소할 수 있습니다.<sup>16</sup>
  - 모든 표본은 원심 분리에 의해 분리 전 최대 6시간 동안 얼음 위에 보관될 수 있습니다.<sup>16</sup>
  - 원심 분리로 혈청 또는 혈장에서 적혈구를 분리하여 샘플 컵이나 다른 깨끗한 용기로 옮깁니다.

**참고:** 얼음 위에 즉시 놓지 않은 표본은 호모시스테인 농도가 10-20% 증가할 수 있습니다.<sup>17</sup>
2. 수집 후 2주 내에 분석을 수행할 경우 표본은 2-8°C에서 보관해야 합니다. 검사가 2주 넘게 지연될 경우 표본은 -20°C 이하에서 보관해야 합니다. 표본은 8개월간 -20°C에서 안정적인 것으로 나타났습니다.<sup>16,18</sup>
3. 올바른 표본 유형이 Liquid Stable (LS) 2-Part 호모시스테인 시약 성분 분석에 사용되는지 확인하는 것은 운영자의 책임입니다.
4. 모든 샘플(표본, 교정기 및 컨트롤)에 거품이 있는지 검사하십시오. 분석 전에 거품을 제거하십시오.
5. 입자상 물질(피브린, 적혈구 또는 기타 물질)을 포함한 표본과 가시적 지방혈증 표본은 분석에 사용해서는 안됩니다. 이러한 표본의 결과는 부정확할 수 있습니다.
6. 결과의 일관성을 보장하기 위해 저속 볼텍스 교반으로 또는 부드럽게 반전하여 해동한 후 표본을 **철저히** 섞습니다. 반복적인 냉동과 해동은 피하십시오. 입자상 물질, 적혈구 또는 탁도를 나타내는 표본은 테스트 전에 원심 분리해야 합니다.

## 결과

결과는  $\mu\text{mol/L}$  단위로 보고됩니다.  $>44\mu\text{mol/L}$  표본은 표본 1부를 Cal 0 $\mu\text{mol/L}$  2부에 또는 표본 1부를 Cal 0 $\mu\text{mol/L}$  9부에 적절히 희석해야 합니다. 결과에 올바른 희석 비율을 곱하는지 확인합니다.

## 예상값

**참조 범위:** 참조 범위는 테스트 중인 개체군의 특성을 확인하기 위해 각 실험실에서 결정해야 합니다. 실험실이 자체 참조 범위를 결정하기 위해 충분한 표본 수를 분석할 때까지 하나의 참조 지점으로 다음 데이터가 사용될 수 있습니다. 건강한 사람의 혈장 또는 혈청에서 HCY 농도는 연령, 성별, 지리적 영역 및 유전적 요인에 따라 달라집니다. 과학 문헌의 보고에 따르면 성인 남성 및 여성에 대한 참조 값은 5-15 $\mu\text{mol/L}$ 이고, 남성이 여성보다 값이 높고, 폐경 여성의 폐경 전 여성보다 호모시스테인 값이 높습니다.<sup>16,19,20</sup> HCY 값은 보통 나이가 들면서 상승하고, 노년 인구(60세 초과)에서 참조 범위는 5-20 $\mu\text{mol/L}$ 입니다.<sup>21</sup> 혈산 강화 프로그램이 있는 국가에서는 HCY 수치의 감소가 관찰될 수 있습니다.<sup>22,23</sup>

**측정 가능 범위:** Liquid Stable (LS) 2-Part 호모시스테인 시약 성분 분석의 측정 가능 범위는 2-44 $\mu\text{mol/L}$ 입니다.

## 사용 제한

- 체외 진단 용도. 전문가만 사용할 수 있습니다.
- 지시대로 실행할 때 Liquid Stable (LS) 2-Part 호모시스테인 시약 성분 분석의 선형 범위는 AU 플랫폼의 경우 2-44 $\mu\text{mol/L}$ 입니다. 표본  $>44\mu\text{mol/L}$ 인 표본은 표본 1부를 Cal 0 $\mu\text{mol/L}$  2부에 또는 표본 1부를 Cal 0 $\mu\text{mol/L}$  9부에 적절히 희석해야 합니다.
- 시약은 투명해야 합니다. 혼탁한 경우 폐기하십시오.
- 시스타씨오닌은 호모시스테인과 함께 측정되지만 일반 개체군에서 시스타씨오닌 수준(0.065-0.3 $\mu\text{mol/L}$ )은 무시해도 될 정도입니다. 매우 드문 경우에 말기 신장 환자와 중증 대사 장애 환자는 시스타씨오닌 수준이 극적으로 상승하여 심한 경우에 20% 이상 방해할 수 있습니다.<sup>24,25</sup>
- 카르바마제핀, 메토트렉세이트, 페니토인, 아산화질소, 6-아자우리딘 트리아세테이트는 호모시스테인 농도에 영향을 미칠 수 있습니다.<sup>16</sup>
- 참고: S-아데노실-메티오닌 관련 약물 치료 중인 환자의 표본에서 호모시스테인 수치의 가능성 상승이 나타날 수 있습니다. 메토트렉세이트, 카르바마제핀, 페니토인, 아산화질소, 항경련제, 또는 6-아자우리딘 트리아세테이트를 복용하는 환자들은 대사 경로에 영향을 받아 호모시스테인의 수치가 상승할 수 있습니다.
- 입자상 물질(피브린, 적혈구 또는 기타 물질)을 포함한 표본과 가시적 지방혈증 표본은 분석에 사용해서는 안됩니다. 이러한 표본의 결과는 부정확할 수 있습니다.
- 제한 사항: 여러 이온 시약에 존재하는 힉드록실아민이 (시약 프로브/액서 또는 반응 크레트을 통해) 캐리오버하여 가성으로 낮은 수치의 결과를 가져올 수 있습니다. 정기적인 행금 철자는 대부분의 경우에 이 문제를 없애는 데 적합하지 않습니다(Beckman Coulters UIBC 시약을 포함)(P/N OSR1205, 힉드록실아민 함유). AU 시스템에서 캐리오버 방지는 Axis Shield 오염 방지 프로토콜을 참조하십시오.
- 적절한 오염 방지 매개 변수가 이행되었는지 확인하십시오. 분석기별 오염 방지 매개 변수는 Axis-Shield 고객 지원 센터에서 얻을 수 있습니다.
- BECKMAN COULTER AU 시리즈 분석기의 시약 캐러셀에 탑재된 경우 호모시스테인 REAG 1 시약에서 에탄올 증기가 방출될 수 있습니다. 대기 오염을 방지하기 위해 호모시스테인과 함께 에탄올 시약을 사용하지 마십시오.
- 소아 환자용으로 검사를 받지 않았습니다.

## 성능 데이터

### BECKMAN COULTER AU 플랫폼(AU400, AU480, AU680, AU5800, DxC 500\* 및 DxC 700 AU)에서 생성된 측정값을 기반으로 합니다.

#### 정확성

상관관계 연구는 외관상으로 건강한 성인의 혈장 표본으로 실시되었습니다. 모든 표본은 CLSI(공식적으로 NCCLS) 문서 EP9-A2<sup>27</sup> 또는 CLSI 문서 EP9-A3<sup>31</sup>에 따라 Liquid Stable (LS) 2-Part 호모시스테인 시약을 사용하여 분석되었습니다. 모든 결과는 95% 신뢰 구간을 사용하여 설명합니다. 표본 범위 및 데이터는 다음과 같습니다.

비교방법	Beckman Coulter AU400 대 <b>Catch Liquid Stable</b>	Beckman Coulter AU480 대 AU400	Beckman Coulter AU680 대 AU400	Beckman Coulter AU5800 대 AU400	Beckman Coulter DxC 500 대 AU480	Beckman Coulter DxC 700 AU 대 AU400
사용된 CLSI 문서	EP9-A2	EP9-A2	EP9-A2	EP9-A2	EP9-A3	EP9-A2
표본 수	94	99	98	99	105	94
회귀직선의 기울기	0.99	0.97	0.97	0.98	0.98	0.99
Y-절편	0.17	-0.68	-0.22	-0.75	0.40	0.67
상관 계수	1.00	1.00	1.00	1.00	0.98	1.00
샘플 범위	6.5 – 49.0	8.5 – 45.1	8.5 – 45.1	8.5 – 45.1	3.1 – 41.3	5.8 – 45.9

\*Beckman Coulter DxC 500 시스템(DxC 500 AU 및 DxC500i)의 성능은 명시된 경우에 한하여, 대표 데이터로서 DxC 500 AU 플랫폼에서 확립되었습니다.

## 정밀도

AU 플랫폼(AU400, AU480, AU680, AU5800, **DxC 500** 및 **DxC 700 AU**)에 대한 연구는 CLSI(공식적으로 NCCLS) 문서 EP5-A2<sup>28</sup> 또는 CLSI 문서 EP5-A3<sup>32</sup>의 지침에 따라 수행되었습니다. 각 기기에 대해 세 HCY 컨트롤 및 세 사람 혈장 샘플은 최소 5일에 하루 두 차례식 2회 반복 검증으로 두 로트의 시약을 사용하여 분석했습니다. 결과는 다음과 같이 요약됩니다.

### **BECKMAN COULTER AU400**

샘플	n	시약 로트	평균	실행 내		실행 간		총	
				표준편차(SD)	CV%	표준편차(SD)	CV%	표준편차(SD)	CV%
낮은 컨트롤	80	1	6.28	0.17	2.6	0.11	1.7	0.28	4.4
	80	2	6.29	0.13	2.1	0.11	1.7	0.26	4.1
중간 컨트롤	80	1	12.33	0.18	1.5	0.15	1.2	0.37	3.0
	80	2	12.24	0.16	1.3	0.16	1.3	0.39	3.2
높은 컨트롤	80	1	25.53	0.38	1.5	0.35	1.4	0.65	2.5
	80	2	25.26	0.41	1.6	0.00	0.0	0.73	2.9
샘플 P1	80	1	6.97	0.13	1.9	0.00	0.0	0.23	3.3
	80	2	6.97	0.15	2.2	0.00	0.0	0.31	4.4
샘플 P2	80	1	35.96	0.46	1.3	0.40	1.1	0.89	2.5
	80	2	35.53	0.40	1.1	0.23	0.7	0.82	2.3
샘플 P3	80	1	48.31	0.53	1.1	0.42	0.9	0.97	2.0
	80	2	47.66	0.47	1.0	0.38	0.8	1.07	2.2

### **BECKMAN COULTER AU480**

샘플	n	시약 로트	평균	실행 내		실행 간		총	
				표준편차(SD)	CV%	표준편차(SD)	CV%	표준편차(SD)	CV%
낮은 컨트롤	20	1	6.73	0.07	1.1	0.17	2.6	0.21	3.1
	20	2	6.51	0.17	2.5	0.11	1.7	0.22	3.4
중간 컨트롤	20	1	12.74	0.18	1.4	0.13	1.0	0.24	1.9
	20	2	12.43	0.22	1.8	0.17	1.3	0.30	2.4
높은 컨트롤	20	1	26.13	0.24	0.9	0.11	0.4	0.46	1.8
	20	2	25.66	0.17	0.7	0.12	0.5	0.47	1.8
샘플 P1	20	1	10.54	0.33	3.1	0.00	0.0	0.37	3.5
	20	2	11.00	0.71	6.5	0.00	0.0	0.92	8.4
샘플 P2	20	1	28.71	0.24	0.9	0.18	0.6	0.58	2.0
	20	2	28.20	0.18	0.6	0.12	0.4	0.60	2.1
샘플 P3	20	1	37.63	0.32	0.9	0.18	0.5	0.97	2.6
	20	2	36.98	0.21	0.6	0.18	0.5	0.91	2.5

### **BECKMAN COULTER AU680**

샘플	n	시약 로트	평균	실행 내		실행 간		총	
				표준편차(SD)	CV%	표준편차(SD)	CV%	표준편차(SD)	CV%
낮은 컨트롤	20	1	6.96	0.16	2.4	0.00	0.0	0.16	2.4
	20	2	6.79	0.16	2.3	0.02	0.3	0.21	3.1
중간 컨트롤	20	1	13.03	0.12	1.0	0.15	1.2	0.20	1.5
	20	2	12.76	0.20	1.6	0.05	0.4	0.22	1.7
높은 컨트롤	20	1	26.38	0.23	0.9	0.28	1.0	0.41	1.6
	20	2	26.19	0.31	1.2	0.24	0.9	0.40	1.5
샘플 P1	20	1	10.76	0.30	2.8	0.00	0.0	0.32	3.0
	20	2	10.65	0.32	3.0	0.00	0.0	0.39	3.6
샘플 P2	20	1	28.90	0.34	1.2	0.15	0.5	0.48	1.6
	20	2	28.67	0.42	1.5	0.06	0.2	0.73	2.5
샘플 P3	20	1	37.78	0.28	0.7	0.16	0.4	0.51	1.4
	20	2	37.90	0.28	0.7	0.11	0.3	0.67	1.8

### **Beckman Coulter AU5800**

샘플	n	시약 로트	평균	실행 내		실행 간		총	
				표준편차(SD)	CV%	표준편차(SD)	CV%	표준편차(SD)	CV%
낮은 컨트롤	20	1	6.49	0.24	3.6	0.00	0.0	0.30	4.7
	20	2	6.70	0.13	2.2	0.07	1.1	0.16	2.7
중간 컨트롤	20	1	12.52	0.23	1.8	0.00	0.0	0.23	1.8
	20	2	12.57	0.17	1.4	0.19	1.5	0.26	2.1
높은 컨트롤	20	1	25.87	0.26	1.0	0.32	1.2	0.41	1.6
	20	2	25.69	0.30	1.2	0.16	0.6	0.34	1.3
샘플 P1	20	1	10.53	0.16	1.5	0.00	0.0	0.35	3.3
	20	2	10.53	0.27	2.6	0.00	0.0	0.34	3.2
샘플 P2	20	1	28.58	0.22	0.8	0.24	0.8	0.52	1.8
	20	2	28.42	0.29	1.0	0.07	0.3	0.49	1.7
샘플 P3	20	1	37.67	0.35	0.9	0.27	0.7	0.79	2.1
	20	2	37.55	0.29	0.8	0.26	0.7	0.55	1.5

### Beckman Coulter DxC 500

샘플	n	시약 로트	평균	실행 내		실행 간		총	
				표준편차(SD)	CV%	표준편차(SD)	CV%	표준편차(SD)	CV%
낮은 컨트롤	80	1	5.83	0.14	2.3%	0.29	5.0%	0.29	4.9%
	80	2	6.46	0.15	2.3%	0.38	5.9%	0.38	5.8%
중간 컨트롤	80	1	11.60	0.14	1.2%	0.54	4.7%	0.53	4.6%
	80	2	11.92	0.21	1.7%	0.51	4.2%	0.48	4.1%
높은 컨트롤	80	1	23.59	0.24	1.0%	0.63	2.7%	0.62	2.6%
	80	2	24.24	0.24	1.0%	0.75	3.1%	0.74	3.0%
샘플 P1	80	1	9.63	0.36	3.7%	0.49	5.1%	0.44	4.5%
	80	2	9.39	0.18	2.0%	0.46	4.9%	0.45	4.8%
샘플 P2	80	1	30.01	0.63	2.1%	1.01	3.3%	0.94	3.1%
	80	2	28.09	0.28	1.0%	0.87	3.1%	0.86	3.1%
샘플 P3	80	1	40.53	1.14	2.8%	1.61	4.0%	1.44	3.6%
	80	2	37.18	0.33	0.9%	1.13	3.0%	1.11	3.0%

### Beckman Coulter DxC 700 AU

샘플	n	시약 로트	평균	실행 내		실행 간		총	
				표준편차(SD)	CV%	표준편차(SD)	CV%	표준편차(SD)	CV%
낮은 컨트롤	80	1	5.77	0.1	1.7	0.0	0.0	0.3	5.1
	80	2	5.83	0.1	2.1	0.1	1.6	0.3	4.8
중간 컨트롤	80	1	11.72	0.1	1.1	0.0	0.0	0.4	3.0
	80	2	11.72	0.2	1.4	0.0	0.0	0.4	3.6
높은 컨트롤	80	1	23.34	0.2	0.9	0.0	0.0	0.6	2.4
	80	2	23.45	0.2	0.8	0.1	0.5	0.6	2.7
샘플 P1	80	1	10.54	0.2	2.2	0.2	1.7	0.4	3.9
	80	2	10.63	0.2	2.2	0.2	2.2	0.4	4.1
샘플 P2	80	1	29.16	0.5	1.5	0.2	0.6	0.7	2.5
	80	2	29.12	0.5	1.6	0.3	1.1	0.8	2.8
샘플 P3	80	1	38.20	0.5	1.2	0.2	0.6	0.9	2.2
	80	2	38.16	0.6	1.5	0.0	0.0	1.0	2.6

### 회석 선형성

Beckman AU 플랫폼에서 Liquid Stable (LS) 2-Part 호모시스테인 시약 성분 분석의 회석 선형성은 분석 범위 전반에서  $100 \pm 10\%$ 의 복구율(%)을 보입니다. 샘플 >44 $\mu\text{mol/L}$ 은 분석 범위로 회석될 때 모든 예상 결과의  $100\% \pm 11\%$  평균 복구율을 보입니다.

### 검출 한계

각 시스템의 검출 한계(LOD)는 CLSI(공식적으로 NCCLS) 문서 EP17-A2<sup>29</sup> 또는 EP17-A2<sup>30</sup>에 따라 결정되었으며, LOD ( $\mu\text{mol/L}$ )은 아래 표와 같습니다.

Beckman Coulter AU400	Beckman Coulter AU480	Beckman Coulter AU680	Beckman Coulter AU5800	Beckman Coulter DxC 500 <sup>a</sup>	Beckman Coulter DxC 700 AU
0.33	0.39	0.54	0.59	0.89	1.04

<sup>a</sup>CLSI 문서 EP17-A2

### 분석 특이성

분석 특이성은 아래 표에 나와있는 방해 물질에 대한 CLSI 문서 EP7-A2<sup>30</sup>의 지침에 따라 Beckman Coulter AU400에서만 평가했습니다.

방해 물질	방해 물질 농도	방해(%)
필리루빈	20mg/dL	≤ +10
헵고글로빈	500mg/dL	≤ +10
적혈구	0.4%	≤ +10
트리글리세라이드	500mg/dL	≤ +10
글루타치온	1000 $\mu\text{mol/L}$	≤ +10
페티오닌	800 $\mu\text{mol/L}$	≤ +10
L-시스테인	200 $\mu\text{mol/L}$	≤ +10
파루브잔	1250 $\mu\text{mol/L}$	≤ +10

이 물질 중 어떤 것도 분석에 크게 방해되지 않았습니다.

단백질 수치가 상승한 샘플은 일반 샘플에서 얻은 결과와 비교해서  $>10\%$ 의 차이를 보이므로 피해야 합니다.  
약물, 질병 또는 분석 전 변수에 의해 발생 가능한 방해는 이 책자의 참조 색션에 참고 문헌 16을 참조하십시오.

### 샘플 캐리오버

테스트된 모든 AU 플랫폼에서 샘플 캐리오버 연구는 캐리오버가 분석 검출 한계 미만이라는 것을 보여줍니다.

### 온보드 시약 안정성

시약은 모든 AU 플랫폼에서 30일 동안 안정적입니다.

## 교정 안정성

교정 곡선은 Beckman Coulter AU400에 대해 30일간 테스트를 받았으며 Beckman Coulter AU5800, Dx<sup>C</sup> 500 및 Dx<sup>C</sup> 700 AU에 대해 14일간 테스트를 받아 안정적입니다.

## 표본 유형

사용될 것으로 확인된 표본 수집 투브는 EDTA 및 리튬 혼화 혈장 투브, 혈청 및 혈청 분리기 투브입니다. 다른 표본 수집 투브는 검사되지 않았습니다.

혈청(혈청 또는 혈청 분리기 투브에 수집) 및 혈장(칼륨 EDTA 또는 리튬 혼화 투브에 수집)은 호모시스테인의 측정에 사용될 수 있습니다. 올바른 투브가 사용되는지 확인하는 것은 작동자의 책임입니다. 그러나 혈청, 혼화 혈장 및 EDTA 혈장에서 나온 개별 환자 결과를 서로 바꿔서 사용하는 것은 좋지 않습니다.<sup>26</sup> 또한 혈청 및 혈청 분리기 투브와 혈장 투브 사이의 매트릭스 차이가 보고되었습니다.<sup>18</sup>

## **AU 플랫폼 분석 프로토콜 – AU400, AU480, AU680, AU5800, Dx<sup>C</sup> 500 및 Dx<sup>C</sup> 700 AU**

분석 매개변수가 아래 나와있는 매개변수와 정확하게 일치하는지 확인합니다.

### **AU400 – 절차 매개변수**

테스트 번호 [*]	이름 [HCY]	유형 [Ser.]
샘플량:	[16.5] µL	회석제 용량: [0.0] µL
회석 전 계수:	[1]	
시약 1 용량:	[250] µL	회석제 용량: [0.0] µL
시약 2 용량:	[25] µL	회석제 용량: [0.0] µL
1차 파장:	[340] nm	
2차 파장:	[380] nm	
반응 방법:	RATE1	
반응 기울기	[–]	
포인트 1	첫 번째 [15]	
	마지막 [27]	
포인트 2	첫 번째 []	
	마지막 []	
선행성	[100]%	
비지연 시간	[아니오]	
최소 OD		최대 OD
L [-2.0]		H [2.5]
시약 OD 한계	첫 번째 L []	첫 번째 H []
	마지막 L []	마지막 H []
동적 범위:	L [2.0]	H [44.0]
상관 계수:	A [1.0]	B [0.0]
온보드 안정성 기간:		[30]
특정 교정:		
	포인트	OD Conc
1 [*]	[]	[0.0]
2 [*]	[]	[**]
교정 유형:		[AA]
공식:	[Y=AX+B]	

\*사용자 지정      \*\*교정기 유리병에 값을 입력

### **AU480 / AU680 – 절차 매개변수**

테스트 번호 [*]	이름 [HCY]	유형 [Ser.]
샘플량:	[10] µL	회석제 용량: [0.0] µL
회석 전 계수:	[1]	
시약 1 용량:	[155] µL	회석제 용량: [0.0] µL
시약 2 용량:	[16] µL	회석제 용량: [0.0] µL
1차 파장:	[340] nm	
2차 파장:	[380] nm	
반응 방법:	RATE1	
반응 기울기	[–]	
포인트 1	첫 번째 [15]	
	마지막 [27]	
포인트 2	첫 번째 []	
	마지막 []	
선행성	[25]%	
비지연 시간	[예]	
최소 OD		최대 OD
L [...]		H [...]
시약 OD 한계	첫 번째 L [-2.0]	첫 번째 H [2.5]
	마지막 L [-2.0]	마지막 H [2.5]
동적 범위:	L [2.0]	H [44.0]
상관 계수:	A [1.0]	B [0.0]
온보드 안정성 기간:		[30]
LIH 영향 점검		[아니오]
특정 교정:		
	포인트	OD Conc
1 [*]	[]	[0.0]
2 [*]	[]	[**]
교정 유형:		[AA]
공식:	[Y=AX+B]	
안정성	시약 블랭크 [30]일	교정 [14] 일

\*사용자 지정      \*\*교정기 유리병에 값을 입력

**AU5800- 절차 매개변수**

테스트 번호 [*]	이름 [HCY]	유형 [Ser.]
샘플량:	[7.5] $\mu\text{L}$	회석 제 용량:
회석 전 계수:	[1]	[0.0] $\mu\text{L}$
시약 1 용량:	[115] $\mu\text{L}$	회석 제 용량:
시약 2 용량:	[12] $\mu\text{L}$	회석 제 용량:
1차 과장:	[340] nm	
2차 과장:	[380] nm	
반응 방법:	RATE1	
반응 기울기	[•]	
포인트 1	첫 번째 [15]	
	마지막 [27]	
포인트 2	첫 번째 []	
	마지막 []	
선행성	[25]%	
비지연 시간	[예]	
최소 OD		최대 OD
L []		H []
시약 OD 한계	첫 번째 L [-2.0]	첫 번째 H [2.5]
	마지막 L [-2.0]	마지막 H [2.5]
동적 범위:	L [2.0]	H [44.0]
상관 계수:	A [1.0]	B [0.0]
온보드 안정성 기간:		[30]
LIH 영향 점검		[아니오]
특정 교정:		
	포인트	OD
	1 [*]	[]
	2 [*]	[]
	교정 유형:	[**]
	공식:	[Y=AX+B]
안정성	시약 블랭크 [30]일	교정 [14] 일

\*사용자 지정      \*\*교정기 유리병에 값을 입력

**DxC 500 - 절차 매개변수**

테스트 번호 [*]	이름 [HCY]	유형 [Ser.]
샘플량:	[10] $\mu\text{L}$	회석 제 용량:
회석 전 계수:	[1]	[0.0] $\mu\text{L}$
시약 1 용량:	[155] $\mu\text{L}$	회석 제 용량:
시약 2 용량:	[16] $\mu\text{L}$	회석 제 용량:
1차 과장:	[340] nm	
2차 과장:	[380] nm	
반응 방법:	RATE1	
반응 기울기	[•]	
포인트 1	첫 번째 [15]	
	마지막 [27]	
포인트 2	첫 번째 []	
	마지막 []	
선행성	[25]%	
비지연 시간	[예]	
최소 OD		최대 OD
L [-2.0]		H [2.5]
시약 OD 한계	첫 번째 L [-2.0]	첫 번째 H [2.5]
	마지막 L [-2.0]	마지막 H [2.5]
동적 범위:	L [2.0]	H [44.0]
상관 계수:	A [1.0]	B [0.0]
온보드 안정성 기간:		[30]
LIH 영향 점검		[아니오]
특정 교정:		
	포인트	OD
	1 [*]	[]
	2 [*]	[]
	교정 유형:	[28]
	공식:	[Y=AX+B]
안정성	시약 블랭크 [30]일	교정 [14] 일

작업에 대한 값은  $\mu\text{mol}$  단위로 설정됩니다. \*사용자 정의

DxC 700 AU-ASSAY 절차 매개 변수

검사 이름	이름 [HCY1G]	시약 ID [225]	
샘플량:	[10] $\mu\text{L}$	회석제	[0.0] $\mu\text{L}$
회석 전 계수:	[1]		
시약 1 용량(R1):	[155] $\mu\text{L}$	회석제	[0.0] $\mu\text{L}$
시약 2 용량(R2):	[16] $\mu\text{L}$	회석제	[0.0] $\mu\text{L}$
1차 파장:	[340] nm		
2차 파장:	[380] nm		
반응 방법:	RATE1		
반응 기울기	[ ]		
측정 포인트-1	첫 번째[15]	마지막[27]	
측정 포인트-2	첫 번째[ ]	마지막[ ]	
선행정	[25]%		
지연 시간 점검	[예]		
최소 OD	[-2.0]	최대 OD	[3.0]
시약 OD 한계	첫 번째 C [-2.0] 마지막 L [-2.0]	C [2.5] C [2.5]	
분석적 측정 범위	C* [2.0]	C* [44.0]	
상관 계수:	A [1]	B [0]	
온보드 안정성 기간:		[30]	
LIH 영향 점검:		[아니오]	
값/플랙	[값]		
최저	[-9999999]	최고	[9999999]
임계값	최저 [-9999999]	최고 [9999999]	단위 [ $\mu\text{mol/L}$ ]
소수 자리	[1]		
검사 이름	[HCY1G]	[HCY1G]	[혈청]
교정 유형	[AA]	공식	[Y=AX+B]
회수	[2]		
포인트-1	[Cal0]	농도 [0]	최저 [9999999] 최고 [9999999]
포인트-2	[Cal28]	농도 [28]	최저 [9999999] 최고 [9999999]
기울기 점검	[없음]	주가 교정 작업	[아니오]
시약 안정성 블랭크	[30]일	[0]시간	

\* 작업 설정 값( $\mu\text{mol}$ )

## 참고 문헌

1. McCully KS. Vascular Pathology of Homocysteinemia: Implications for the Pathogenesis of Arteriosclerosis. *Am J Pathol* 1969;56:111-122
2. Malinow MR. Plasma Homocyst(e)ine and Arterial Occlusive Diseases: A Mini-Review. *Clin Chem* 1995;41:173-176
3. Ueland PM. Homocysteine Species as Components of Plasma Redox Thiol Status. *Clin Chem* 1995;41:340-342
4. Perry IJ, Refsum H, Morris RW, et al. Prospective Study of Serum Total Homocysteine Concentration and Risk of Stroke in Middle-aged British Men. *The Lancet* 1995;346:1395-1398
5. Finkelstein JD. Methionine Metabolism in Mammals. *J Nutr Biochem* 1990;1:228-237
6. Mudd SH, Levy HL, Skovby F. Disorders of Transsulfuration. In: Scriver CR, Beaudet AL, Sly WS, et al., eds *The Metabolic and Molecular Basis of Inherited Disease*. New York: McGraw-Hill, 1995;1279-1327
7. Clarke R, Daly L, Robinson K, et al. Hyperhomocysteinemia: An Independent Risk Factor for Vascular Disease. *N Engl J Med* 1991;324:1149-1155
8. Deloughery TG, Evans A, Sadeghi A, et al. Common Mutation in Methylenetetrahydrofolate Reductase. *Circulation* 1996;94:3074-3078
9. Schmitz C, Lindpaintner K, Verhoef P, et al. Genetic Polymorphism of Methylenetetrahydrofolate Reductase and Myocardial Infarction. *Circulation* 1996;94:1812-1814
10. Boushey CJ, Beresford SAA, Omenn GS, et al. A Quantitative Assessment of Plasma Homocysteine as a Risk Factor for Vascular Disease. *JAMA* 1995;274:1049-1057
11. Cattaneo M. Hyperhomocysteinemia, Artherosclerosis and Thrombosis. *Thromb Haemost* 1999;81:165-176
12. Ridker PM, Manson JE, Buring JE, et al. Homocysteine and Risk of Cardiovascular Disease Among Postmenopausal Women. *JAMA* 1999;281:1817-1821
13. Bostom AG, Silbershatz H, Rosenberg IH, et al. Nonfasting Plasma Total Homocysteine Levels and All-Cause and Cardiovascular Disease Mortality in Elderly Framingham Men and Women. *Arch Intern Med* 1999;159:1077-1080
14. Guttormsen AB, Svarstad E, Ueland PM, et al. Elimination of Homocysteine from Plasma in Subjects with Endstage Renal Failure. *Irish J Med Sci* 1995;164 (Suppl. 15):8-9
15. Bostom AG, Lathrop L. Hyperhomocysteinemia in End-stage Renal Disease: Prevalence, Etiology, and Potential Relationship to Arteriosclerotic Outcomes. *Kidney Int* 1997;52:10-20
16. Ueland PM, Refsum H, Stabler SP, et al. Total Homocysteine in Plasma or Serum: Methods and Clinical Applications. *Clin Chem* 1993;39:1764-1779
17. Ueland PM, Refsum H. Plasma Homocysteine, A Risk Factor for Vascular Disease: Plasma Levels in Health, Disease, and Drug Therapy. *J Lab Clin Med* 1989;114:473-501
18. Fiskerstrand T, Refsum H, Kvalheim G, et al. Homocysteine and Other Thiols in Plasma and Urine: Automated Determination and Sample Stability. *Clin Chem* 1993;39:263-271
19. Nehler MR, Taylor LM Jr, Porter JM. Homocysteinemia as a Risk Factor for Atherosclerosis: A Review. *Cardiovascular Pathol* 1997;6:1-9
20. Lussier-Cacan S, Xhignesse M, Piolot A, et al. Plasma Total Homocysteine in Healthy Subjects: Sex-Specific Relation with Biological Traits. *Am J Clin Nutr* 1996;64:587-593
21. Clarke R, Woodhouse P, Ulvik A, et al. Variability and Determinants of Total Homocysteine Concentrations in Plasma in an Elderly Population. *Clin Chem* 1998;44:102-107
22. Jacques PF, Selhub J, Bostom AG, et al. The Effect of Folic Acid Fortification on Plasma Folate and Total Homocysteine Concentrations. *N Engl J Med* 1999;340:1449-1454
23. Lawrence JM, Petitti DB, Watkins M and Umekubo MA. Trends in Serum Folate after Food Fortification. *The Lancet* 1999;354:915-916
24. Herrmann W, Schorr H, Obeid R, et al. Disturbed Homocysteine and Methionine Cycle Intermediates S-adenosylhomocysteine and S-adenosylmethionine are Related to Degree of Renal Insufficiency in Type 2 Diabetes. *Clin Chem* 2005;51:1-7
25. Obeid R, Kuhlmann MK, Kohler H, et al. Response of Homocysteine, Cystathione, and Methylmalonic Acid to Vitamin Treatment in Dialysis Patients. *Clin Chem* 2005;51:196-201
26. Refsum H, Smith AD, Ueland PM, et al. Facts and recommendations about total homocysteine determinations: an expert opinion. *Clin Chem* 2004;50(1):3-32
27. National Committee for Clinical Laboratory Standards. *Method Comparison and Bias Estimation using Patient Samples; Approved Guideline—Second Edition*. NCCLS document EP9-A2. Wayne, PA: NCCLS, 2002
28. National Committee for Clinical Laboratory Standards. *Evaluation of Precision Performance of Quantitative Measurement Methods; Approved Guideline—Second Edition*. NCCLS Document EP5-A2, Wayne, PA: NCCLS, 2004
29. National Committee for Clinical Laboratory Standards. *Protocols for the Determination of Limits of Detection and Limits of Quantitation; Approved Guideline*. NCCLS Document EP17-A. Wayne, PA: NCCLS, 2004.
30. Clinical Laboratory Standards Institute. *Interference Testing in Clinical Chemistry; Approved Guideline—Second Edition*. CLSI Document EP7-A2. Wayne, PA: CLSI, 2005.
31. Clinical Laboratory Standards Institute. *Measurement Procedure Comparison And Bias Estimation Using Patient Samples; Approved Guideline—Third Edition*. CLSI Document EP9-A3. Wayne, PA: CLSI, 2013.
32. Clinical Laboratory Standards Institute. *Evaluation of Precision of Quantitative Measurement Methods; Approved Guideline—Third Edition*. CLSI Document EP5-A3, Wayne, PA: CLSI, 2014
33. Clinical Laboratory Standards Institute. *Evaluation of Detection Capability for Clinical Laboratory Measurement Procedures; Approved Guideline - 2nd Edition*. CLSI Document EP17-A2, Wayne, PA: CLSI, 2012

## 심각한 사고/유해사례 통지

Axis-Shield Diagnostics Ltd, EC 공인 대리인 및 사건이 발생한 회원국의 관할 기관에 문의하십시오.

<b>IVD</b>	체외 진단 의료 기기		2-8°C에서 보관
<b>REF</b>	카탈로그 번호		제조사
<b>LOT</b>	배치/로트 코드		빛으로부터 보호
$\Sigma_{100}$	100회 검사에 충분한 양 포함	<b>REAG 1</b>	시약 1, 2
	사용 설명서를 참조하십시오 ( <a href="http://www.homocysteine.org.uk/BCI">www.homocysteine.org.uk/BCI</a> )	<b>CAL</b>	교정기 0μmol/L, 교정기 28μmol/L
	만료 기간		제조사
<b>Rx Only</b>	처방용으로만 사용	<b>UDI</b>	고유 장치 식별자
<b>CONTAINS: AZIDE</b>	아지드화 나트륨 함유		동물 기원 생물학적 물질 포함
	수입자	<b>EC REP</b>	유럽 공인 판매 대리점

Beckman Coulter 및 AU는 Beckman Coulter, Inc.의 상표이며 USPTO에 등록되어 있습니다. 다른 모든 상표는 해당 개별 소유주의 자산입니다.



**Axis-Shield Diagnostics Limited**  
The Technology Park  
Dundee DD2 1XA  
영국  
전화: +44 (0) 1382 422000  
팩스: +44 (0) 1382 422088



2797



**Beckman Coulter의 EC 수입업체:**  
BC Distribution B.V.  
Pelmolenlaan 15  
3447 GW Woerden  
네덜란드



**EC 공인 대리점:**  
Abbott Rapid Dx International Limited  
Parkmore East Business Park,  
Ballybrit,  
Co. Galway, H91 VK7E,  
아일랜드  
전화: +(353) 91 429 900

버전: 2025/04  
RPBL1068/R9